

(19) 日本国特許庁(JP)

(12) 特許公報(B1)

(11) 特許番号

特許第5957120号
(P5957120)

(45) 発行日 平成28年7月27日(2016.7.27)

(24) 登録日 平成28年6月24日(2016.6.24)

(51) Int.Cl. F 1
G09C 1/00 (2006.01) G09C 1/00 650Z

請求項の数 6 (全 15 頁)

<p>(21) 出願番号 特願2015-97278 (P2015-97278) (22) 出願日 平成27年5月12日 (2015.5.12) 審査請求日 平成27年5月12日 (2015.5.12)</p>	<p>(73) 特許権者 000004226 日本電信電話株式会社 東京都千代田区大手町一丁目5番1号 (74) 代理人 100121706 弁理士 中尾 直樹 (74) 代理人 100128705 弁理士 中村 幸雄 (74) 代理人 100147773 弁理士 義村 宗洋 (72) 発明者 五十嵐 大 東京都千代田区大手町一丁目5番1号 日 本電信電話株式会社内 審査官 金沢 史明</p>
--	---

最終頁に続く

(54) 【発明の名称】 秘密分散方法、秘密分散システム、分散装置、およびプログラム

(57) 【特許請求の範囲】

【請求項1】

xは拡大体GF(x^q)を生成する既約多項式f[X]の元Xであり、n, kは2以上の整数であり、n = 2k-1であり、p₀, ..., p_{k-1}は0以上n未満の相異なる整数であり、Aは次式で定義されるn行k列の行列であり、

【数 2 3】

$$A_{ij} = \begin{cases} 1 & \text{if } i = j \text{ and } i < k-1 \\ 0 & \text{if } i \neq j \text{ and } i < k-1 \\ x^{(i-k+1)j} & \text{if } i \geq k-1 \end{cases}$$

ただし、

$$i \in \{0, \dots, n-1\}, j \in \{0, \dots, k-1\}$$

分散装置が、乱数r₀, ..., r_{k-2} GF(x^q)を生成する乱数生成ステップと、
 上記分散装置が、上記乱数r₀, ..., r_{k-2}と平文s GF(x^q)を要素とするベクトルa=(r₀, ..., r_{k-2}, s)と上記行列Aとの乗算を計算することでシェアb₀, ..., b_{n-1}を生成するシェア生成ステップと、

復元装置が、上記シェアb₀, ..., b_{n-1}から選択したk個のシェアb_{p₀}, ..., b_{p_{k-1}}を要素とするベクトルb'=(b_{p₀}, ..., b_{p_{k-1}})を生成するシェア選択ステップと、

上記復元装置が、上記行列Aのp₀, ..., p_{k-1}行目からなるk次正方行列の逆行列A'⁻¹を生

成する逆行列生成ステップと、

上記復元装置が、上記逆行列 A'^{-1} の k 行目とベクトル b' を乗算して上記平文 s を復元する平文計算ステップと、

を含む秘密分散方法。

【請求項 2】

請求項 1 に記載の秘密分散方法であって、

q は拡大体 $GF(x^q)$ の拡大次数であり、 d は既約多項式 $f[X]$ から最高次項を除いた多項式 f' の最高次項の次数であり、 $m=n-k$ であり、 $(m-1)(k-1) \equiv q-d$ であり、

上記シェア生成ステップは、 $i \in \{0, \dots, m-1\}$ について次式により値 c_i を計算し、上記値 c_i の q 次以上の部分を X^q で割った多項式 h_i と、上記値 c_i の q 次未満の部分である多項式 g_i とを用いて、 $g_i - h_i f'$ を計算して上記値 c_i を更新し、上記値 c_0, \dots, c_{m-1} を上記シェア b_0, \dots, b_{n-1} とするものである、

【数 2 4】

$$c_i = \sum_{0 \leq j < k-1} r_j x^{ij} + s x^{i(k-1)}$$

秘密分散方法。

【請求項 3】

請求項 1 に記載の秘密分散方法であって、

q は拡大体 $GF(x^q)$ の拡大次数であり、 d は既約多項式 $f[X]$ から最高次項を除いた多項式 f' の最高次項の次数であり、 $m=n-k$ であり、

上記シェア生成ステップは、 $j \in \{0, \dots, k-1\}$ について $a'_j = a_j$ 、 $d_j = 0$ とし、 $i \in \{0, \dots, m-1\}$ について次式により値 c_i を計算し、上記値 c_i の q 次以上の部分を X^q で割った多項式 h_i と、上記値 c_i の q 次未満の部分である多項式 g_i とを用いて、 $g_i - h_i f'$ を計算して上記値 c_i を更新し、 $i \in \{0, \dots, m-1\}$ 、 $j \in \{0, \dots, k-1\}$ について、 $i \equiv m-1$ 、かつ、 $(i+1)j \equiv q-d$ であれば、 $a'_j := a'_j x^i$ 、 $d_j := d_j + i$ と更新し、上記値 c_0, \dots, c_{m-1} を上記シェア b_0, \dots, b_{n-1} とするものである、

【数 2 5】

$$c_i = \sum_{0 \leq j < k} a'_j x^{ij-d_j}$$

秘密分散方法。

【請求項 4】

分散装置と復元装置とを含む秘密分散システムであって、

x は拡大体 $GF(x^q)$ を生成する既約多項式 $f[X]$ の元 X であり、 n 、 k は2以上の整数であり、 $n \equiv 2k-1$ であり、 p_0, \dots, p_{k-1} は0以上 n 未満の相異なる整数であり、 A は次式で定義される n 行 k 列の行列であり、

【数 2 6】

$$A_{ij} = \begin{cases} 1 & \text{if } i = j \text{ and } i < k-1 \\ 0 & \text{if } i \neq j \text{ and } i < k-1 \\ x^{(i-k+1)j} & \text{if } i \geq k-1 \end{cases}$$

ただし、

$$i \in \{0, \dots, n-1\}, j \in \{0, \dots, k-1\}$$

上記分散装置は、

乱数 r_0, \dots, r_{k-2} $GF(x^q)$ を生成する乱数生成部と、

上記乱数 r_0, \dots, r_{k-2} と平文 s $GF(x^q)$ を要素とするベクトル $a = (r_0, \dots, r_{k-2}, s)$ と上記行列 A との乗算を計算することでシェア b_0, \dots, b_{n-1} を生成するシェア生成部と、
を含み、

上記復元装置は、

上記シェア b_0, \dots, b_{n-1} から選択した k 個のシェア $b_{p_0}, \dots, b_{p_{k-1}}$ を要素とするベクトル $b'=(b_{p_0}, \dots, b_{p_{k-1}})$ を生成するシェア選択部と、

上記行列 A の p_0, \dots, p_{k-1} 行目からなる k 次正方形行列の逆行列 A'^{-1} を生成する逆行列生成部と、

上記逆行列 A'^{-1} の k 行目とベクトル b' を乗算して上記平文 s を復元する平文計算部と、を含む秘密分散システム。

【請求項 5】

x は拡大体 $GF(x^q)$ を生成する既約多項式 $f[X]$ の元 X であり、 n, k は2以上の整数であり、 $n \geq 2k-1$ であり、 p_0, \dots, p_{k-1} は0以上 n 未満の相異なる整数であり、 A は次式で定義される n 行 k 列の行列であり、

【数 2 7】

$$A_{ij} = \begin{cases} 1 & \text{if } i = j \text{ and } i < k-1 \\ 0 & \text{if } i \neq j \text{ and } i < k-1 \\ x^{(i-k+1)j} & \text{if } i \geq k-1 \end{cases}$$

ただし、

$$i \in \{0, \dots, n-1\}, j \in \{0, \dots, k-1\}$$

乱数 r_0, \dots, r_{k-2} $GF(x^q)$ を生成する乱数生成部と、

上記乱数 r_0, \dots, r_{k-2} と平文 s $GF(x^q)$ を要素とするベクトル $a=(r_0, \dots, r_{k-2}, s)$ と上記行列 A との乗算を計算することでシェア b_0, \dots, b_{n-1} を生成するシェア生成部と、を含む分散装置。

【請求項 6】

請求項 5 に記載の分散装置としてコンピュータを機能させるためのプログラム。

【発明の詳細な説明】

【技術分野】

【0001】

この発明は、秘密分散技術に関し、特に、情報理論型秘密分散の計算量を低減する技術に関する。

【背景技術】

【0002】

従来の情報理論型秘密分散には、例えば、非特許文献 1 に記載されたShamirの秘密分散や、非特許文献 2 に記載されたXORベースの秘密分散がある。

【0003】

Shamirの秘密分散およびXORベースの秘密分散は (k, n) -秘密分散の一つである。 (k, n) -秘密分散は、入力された平文を n 個に分割した分散値を n 個のパーティに分散して保持しておき、任意の k 個のシェアが揃えば平文を復元でき、 k 個未満のシェアからは平文に関する一切の情報を得られないような秘密分散である。このとき、 n, k は2以上の整数であり、 $n \geq 2k-1$ である。

【先行技術文献】

【非特許文献】

【0004】

【非特許文献 1】A. Shamir, "How to share a secret", Communications of the ACM, vol. 22(11), pp. 612-613, 1979.

【非特許文献 2】J. Kurihara, S. Kiyomoto, K. Fukushima, and T. Tanaka, "On a Fast (k, n) -Threshold Secret Sharing Scheme", IEICE Transactions, vol. 91-A(9), pp. 2365-2378, 2008.

【発明の概要】

【発明が解決しようとする課題】

10

20

30

40

50

【 0 0 0 5 】

非特許文献1に記載されたShamirの秘密分散では計算量が大きいという課題がある。具体的には、Shamirの秘密分散では $(k-1)n$ 回の体乗算を要する。非特許文献2に記載されたXORベースの秘密分散では対応できる k , n の値が限定されており、パラメータの柔軟性が欠ける。 k , n の値はセキュリティ強度とデータ容量に直結するため、柔軟に対応できることが望ましい。

【 0 0 0 6 】

この発明の目的は、このような点に鑑みて、任意の k , n に対応し、従来よりも計算量を低減することができる秘密分散技術を提供することである。

【課題を解決するための手段】

10

【 0 0 0 7 】

上記の課題を解決するために、この発明の秘密分散方法は、 x は拡大体 $GF(x^q)$ を生成する既約多項式 $f[X]$ の元 X であり、 n , k は2以上の整数であり、 $n \geq 2k-1$ であり、 p_0, \dots, p_{k-1} は0以上 n 未満の相異なる整数であり、 A は次式で定義される n 行 k 列の行列であり、

【 0 0 0 8 】

【数1】

$$A_{ij} = \begin{cases} 1 & \text{if } i = j \text{ and } i < k-1 \\ 0 & \text{if } i \neq j \text{ and } i < k-1 \\ x^{(i-k+1)j} & \text{if } i \geq k-1 \end{cases}$$

20

ただし、

$$i \in \{0, \dots, n-1\}, j \in \{0, \dots, k-1\}$$

【 0 0 0 9 】

分散装置が、乱数 r_0, \dots, r_{k-2} $GF(x^q)$ を生成する乱数生成ステップと、分散装置が、乱数 r_0, \dots, r_{k-2} と平文 s $GF(x^q)$ を要素とするベクトル $a=(r_0, \dots, r_{k-2}, s)$ と行列 A との乗算を計算することでシェア b_0, \dots, b_{n-1} を生成するシェア生成ステップと、復元装置が、シェア b_0, \dots, b_{n-1} から選択した k 個のシェア $b_{p_0}, \dots, b_{p_{k-1}}$ を要素とするベクトル $b'=(b_{p_0}, \dots, b_{p_{k-1}})$ を生成するシェア選択ステップと、復元装置が、行列 A の p_0, \dots, p_{k-1} 行目からなる k 次正方行列の逆行列 A'^{-1} を生成する逆行列生成ステップと、復元装置が、逆行列 A'^{-1} の k 行目とベクトル b' を乗算して平文 s を復元する平文計算ステップと、を含む。

30

【発明の効果】

【 0 0 1 0 】

この発明の秘密分散技術は、任意の k , n に対応し、従来よりも計算量が低い。

【図面の簡単な説明】

【 0 0 1 1 】

【図1】図1は、秘密分散システムの機能構成を例示する図である。

【図2】図2は、秘密分散装置の機能構成を例示する図である。

【図3】図3は、秘密分散方法の処理フローを例示する図である。

【発明を実施するための形態】

40

【 0 0 1 2 】

実施形態の説明に先立ち、この発明の原理について説明する。

【 0 0 1 3 】

前提として、以下の説明では、 x は既約多項式を $f[X]=X^{64}+X^4+X^3+X^2+X+1$ とする拡大体 $GF(2^{64})$ の元 X である。 x を整数表現すると2である。

【 0 0 1 4 】

$GF(2^{64})$ は多項式を、mod 2整数を係数とする64次多項式 $f(x)$ で割った(多項式としての割り算)余りの集合である。体であり四則演算を行うことができる。特殊な演算をもつビットの64次ベクトルと考えてもよい。 $GF(2^{64})$ は64ビット整数で表現でき、項 x^i を 2^i で表現する。例えば、 $1+x+x^3$ は、 $2^0+2^1+2^3=11$ と表現できる。

50

【 0 0 1 5 】

この発明の秘密分散は、誤り訂正符号のリード・ソロモン符号 (Reed-Solomon Codes) を応用して構成されたものである。リード・ソロモン符号については、例えば下記参考文献 1 に記載されている。

〔参考文献 1〕バァナード・スカラー著、「デジタル通信 基本と応用」、ピアソン・エデュケーション、2006年

【 0 0 1 6 】

誤り訂正符号の符号化処理は、平文の入力ベクトル a に線形変換 (つまり行列) A を乗じて出力ベクトル b を得る処理として、式 (1) により表現できる。すなわち、行列 A の i 番目の行は、出力ベクトル b の i 番目の要素 b_i を生成するために入力ベクトル a の各要素に乘

10

$$b = Aa \quad \dots (1)$$

【 0 0 1 7 】

誤り訂正符号の復号処理も線形変換と見ることができる。 A' 、 b' を A 、 b のうち利用する k 個の要素に対応する行だけを抜き出した行列もしくはベクトルとして、式 (2) により表現できる。

$$b' = A'a \quad \dots (2)$$

【 0 0 1 8 】

したがって、行列 A に逆行列が存在すれば、式 (3) により復号できる。

$$a = A'^{-1}b' \quad \dots (3)$$

20

【 0 0 1 9 】

誤り訂正符号の符号化では、入力ベクトル a は式 (4) で表される k 次のベクトルとする。ただし、 k は 2 以上の整数である。

【 0 0 2 0 】

【数 2】

$$a = \begin{pmatrix} a_0 \\ \vdots \\ a_{k-1} \end{pmatrix} \quad \dots(4)$$

【 0 0 2 1 】

出力ベクトル b は式 (5) で表される n 次のベクトルとする。ただし、 n は 2 以上の整数であり、 $n \geq 2k-1$ である。

30

【 0 0 2 2 】

【数 3】

$$b = \begin{pmatrix} b_0 \\ \vdots \\ b_{n-1} \end{pmatrix} \quad \dots(5)$$

【 0 0 2 3 】

行列 A は、式 (6) で表される k 行 k 列の単位行列と m 行 k 列のファンデルモンデ行列 (Van dermonde matrix) を縦に連結した行列である。ただし、 $m=n-k$ である。ファンデルモンデ行列とは、行または列の行列要素に等比数列の各項が順番にならんでいる特別な構成の行列である。

40

【 0 0 2 4 】

【数 4】

$$A_{ij} = \begin{cases} 1 & \text{if } i = j \\ 0 & \text{if } i \neq j \text{ and } i < k \\ x^{(i-k)j} & \text{if } i \geq k \end{cases} \quad \dots(6)$$

ただし、

$$i \in \{0, \dots, n-1\}, j \in \{0, \dots, k-1\}$$

【0025】

つまり、行列Aは式(7)のようなn行k列の行列である。

【0026】

【数 5】

$$\left(\begin{array}{cccc|cccc} 1 & 0 & 0 & \dots & 0 & & & \\ 0 & 1 & 0 & \dots & 0 & & & \\ 0 & 0 & 1 & \dots & 0 & & & \\ \vdots & \vdots & \vdots & \ddots & \vdots & & & \\ 0 & 0 & 0 & \dots & 1 & & & \\ \hline 1 & 1 & 1 & \dots & 1 & & & \\ 1 & x & x^2 & \dots & x^{k-1} & & & \\ 1 & x^2 & x^4 & \dots & x^{2(k-1)} & & & \\ \vdots & \vdots & \vdots & \ddots & \vdots & & & \\ 1 & x^{m-1} & x^{2(m-1)} & \dots & x^{(m-1)(k-1)} & & & \end{array} \right) \left. \begin{array}{l} \text{\textit{k}行} \\ \\ \\ \\ \\ \\ \\ \\ \\ \text{\textit{m}行} \end{array} \right\} \dots(7)$$

k列

【0027】

行列Aは、k行目までは単位行列であるため、出力ベクトルbのk行目までの要素 b_0, \dots, b_{k-1} は入力ベクトルaの要素 a_0, \dots, a_{k-1} と一致する。出力ベクトルbにおいて入力ベクトルaの要素と一致する要素をデータシェアと呼び、それ以外の要素をパリティシェアと呼ぶ。

【0028】

この発明の秘密分散技術は、上述した誤り訂正符号を応用して情報理論型秘密分散を構成したものである。具体的には以下のようにして情報理論型秘密分散を構成することができる。まず、情報理論型秘密分散を、誤り訂正符号と同様に、行列Aを用いた線形変換と捉える。この発明の情報理論型秘密分散の分散処理では、入力ベクトルaは、 r_0, \dots, r_{k-2} を乱数とし、sを平文として、式(8)で表されるk次のベクトルとする。すなわち、入力ベクトルaは、k-1行目までの要素が乱数であり、k行目の要素が平文のベクトルである。

【0029】

【数 6】

$$a = \begin{pmatrix} r_0 \\ \vdots \\ r_{k-2} \\ s \end{pmatrix} \quad \dots(8)$$

【0030】

出力ベクトルbは、誤り訂正符号の符号化と同様であり、式(9)で表されるn次のベクトルとする。

【0031】

10

20

30

40

【数7】

$$b = \begin{pmatrix} b_0 \\ \vdots \\ b_{n-1} \end{pmatrix} \quad \dots(9)$$

【0032】

誤り訂正符号の行列Aはk行目までが単位行列であるため、情報理論型秘密分散の入力ベクトルaを乗ずると、出力ベクトルbのk行目の要素が $b_{k-1}=s$ となる。秘密分散では秘匿性のために平文をそのままシェアとすることは禁じられる。そのため、情報理論型秘密分散の行列Aは、式(10)で表されるように、誤り訂正符号と異なり、k-1行目までが単位行列であり、k行目からファンデルモンド行列となる。

10

【0033】

【数8】

$$A_{ij} = \begin{cases} 1 & \text{if } i = j \text{ and } i < k-1 \\ 0 & \text{if } i \neq j \text{ and } i < k-1 \\ x^{(i-k+1)j} & \text{if } i \geq k-1 \end{cases} \quad \dots(10)$$

ただし、

$$i \in \{0, \dots, n-1\}, j \in \{0, \dots, k-1\}$$

【0034】

つまり、行列Aは式(11)のようなn行k列の行列である。

20

【0035】

【数9】

$$\left(\begin{array}{cccccc} 1 & 0 & 0 & \dots & 0 & 0 \\ 0 & 1 & 0 & \dots & 0 & 0 \\ 0 & 0 & 1 & \dots & 0 & 0 \\ \vdots & \vdots & \vdots & \ddots & \vdots & \vdots \\ 0 & 0 & 0 & \dots & 1 & 0 \\ \hline 1 & 1 & 1 & \dots & 1 & 1 \\ 1 & x & x^2 & \dots & x^{k-2} & x^{k-1} \\ 1 & x^2 & x^4 & \dots & x^{2(k-2)} & x^{2(k-1)} \\ \vdots & \vdots & \vdots & & \vdots & \vdots \\ 1 & x^m & x^{2m} & \dots & x^{m(k-2)} & x^{m(k-1)} \end{array} \right) \left. \begin{array}{l} \} k-1 \text{行} \\ \dots(11) \\ \} m+1 \text{行} \end{array} \right\} \begin{array}{l} \\ \\ \\ \\ \\ \end{array} \quad \dots(11)$$

30

【0036】

この発明の情報理論型秘密分散の復元処理では、入力ベクトルaの各要素のうちk行目の要素に設定された平文sのみを復元できればよいので、1回のk次元線形結合で復元できる。復元に利用するk個のシェア b'_0, \dots, b'_{k-1} に対応する行を抜き出した行列A'を生成し、その行列A'の逆行列 A'^{-1} のk行目と、k個のシェア b'_0, \dots, b'_{k-1} からなるベクトルとの内積により平文sを求めることができる。

40

【0037】

以下、この発明の実施の形態について詳細に説明する。なお、図面中において同じ機能を有する構成部には同じ番号を付し、重複説明を省略する。

【0038】

[第一実施形態]

第一実施形態の秘密分散システムは、図1に例示するように、n(≧3)台の秘密分散装置 $1_0, \dots, 1_{n-1}$ を含む。この実施形態では、秘密分散装置 $1_0, \dots, 1_{n-1}$ はそれぞれ通信網2へ接続される。通信網2は、接続される各装置が相互に通信可能なように構成された回

50

線交換方式もしくはパケット交換方式の通信網であり、例えばインターネットやLAN (Local Area Network)、WAN (Wide Area Network) などを用いることができる。なお、各装置は必ずしも通信網 2 を介してオンラインで通信可能である必要はない。例えば、秘密分散装置 1_i ($i \in \{0, \dots, n-1\}$) へ入力する情報を磁気テープやUSBメモリなどの可搬型記録媒体に記憶し、その可搬型記録媒体からオフラインで入力するように構成してもよい。

【0039】

秘密分散装置 1 は、図 2 に例示するように、シェア記憶部 10、入力部 11、乱数生成部 12、行列生成部 13、シェア生成部 14、シェア選択部 15、逆行列生成部 16、および平文計算部 17 を含む。この秘密分散装置 1 が、図 3 に例示する各ステップの処理を行うことにより第一実施形態の秘密分散方法が実現される。

10

【0040】

秘密分散装置 1 は、例えば、中央演算処理装置 (CPU: Central Processing Unit)、主記憶装置 (RAM: Random Access Memory) などをも有する公知又は専用のコンピュータに特別なプログラムが読み込まれて構成された特別な装置である。秘密分散装置 1 は、例えば、中央演算処理装置の制御のもとで各処理を実行する。秘密分散装置 1 に入力されたデータや各処理で得られたデータは、例えば、主記憶装置に格納され、主記憶装置に格納されたデータは必要に応じて中央演算処理装置へ読み出されて他の処理に利用される。秘密分散装置 1 の各処理部は、少なくとも一部が集積回路等のハードウェアによって構成されていてもよい。

【0041】

秘密分散装置 1 の備えるシェア記憶部 10 は、例えば、RAM (Random Access Memory) などの主記憶装置、ハードディスクや光ディスクもしくはフラッシュメモリ (Flash Memory) のような半導体メモリ素子により構成される補助記憶装置、またはリレーショナルデータベースやキーバリューストアなどのミドルウェアにより構成することができる。

20

【0042】

図 3 を参照して、第一実施形態の秘密分散方法の処理手続きを説明する。

【0043】

秘密分散方法は分散処理と復元処理とに分かれる。分散処理および復元処理は、 n 台の秘密分散装置 $1_0, \dots, 1_{n-1}$ から任意に選択された 1 台の秘密分散装置 1_i ($i \in \{0, \dots, n-1\}$) のみが実行する。分散処理を実行する秘密分散装置と復元処理を実行する秘密分散装置は同一の装置であってもよいし、異なる装置であってもよい。以降の説明では、分散処理を行う秘密分散装置を分散装置と呼び、復元処理を行う秘密分散装置を復元装置と呼ぶ。

30

【0044】

ステップ S 11 において、分散装置の入力部 11 へ平文 $s \in GF(x^q)$ が入力される。平文 s はシェア生成部 14 へ送られる。

【0045】

ステップ S 12 において、分散装置の乱数生成部 12 は、 $k-1$ 個の乱数 $r_0, \dots, r_{k-2} \in GF(x^q)$ を生成する。乱数 r_0, \dots, r_{k-2} はシェア生成部 14 へ送られる。乱数生成部 11 は、逐一ランダムに乱数生成器を用いて $k-1$ 個の乱数 r_0, \dots, r_{k-2} を生成してもよいし、事前に生成されメモリに格納されている複数個の値から所定の規則に従って $k-1$ 個の値を選択して乱数 r_0, \dots, r_{k-2} を生成してもよい。

40

【0046】

ステップ S 13 において、分散装置の行列生成部 13 は、式 (12) で定義される n 行 k 列の行列 A を生成する。行列 A はシェア生成部 14 へ送られる。行列 A は n, k が定めれば計算できるため、あらかじめ生成しておいてもよい。その場合、行列生成部 13 は、あらかじめ生成し記憶しておいた行列 A を読み込むだけでよい。

【0047】

$$A_{ij} = \begin{cases} 1 & \text{if } i = j \text{ and } i < k-1 \\ 0 & \text{if } i \neq j \text{ and } i < k-1 \\ x^{(i-k-1)j} & \text{if } i \geq k-1 \end{cases} \quad \dots(12)$$

ただし、

$$i \in \{0, \dots, n-1\}, j \in \{0, \dots, k-1\}$$

【 0 0 4 8 】

ステップ S 1 4 において、分散装置のシェア生成部 1 4 は、k 次ベクトル $a = (r_0, \dots, r_{k-2}, s)$ を生成し、ベクトル a と行列 A との乗算を計算することで n 次ベクトル $b = (b_0, \dots, b_{n-1})$ を求める。ベクトル b の 0 番目から k-2 番目の要素 b_0, \dots, b_{k-2} には、乱数 r_0, \dots, r_{k-2} がそのまま設定される。ベクトル b の残りの要素 b_{k-1}, \dots, b_{n-1} には、 $m = n - k$ とし、 $i = 0, \dots, m-1$ について式 (13) を計算して得られる値 c_0, \dots, c_{m-1} がそれぞれ設定される。

10

【 0 0 4 9 】

【 数 1 1 】

$$c_i = \sum_{0 \leq j < k-1} r_j x^{ij} + s x^{i(k-1)} \quad \dots(13)$$

【 0 0 5 0 】

シェア生成部 1 4 は、ベクトル b の各要素を n 個のシェア b_0, \dots, b_{n-1} として生成し、n 台の秘密分散装置 $1_0, \dots, 1_{n-1}$ へそれぞれ分散して送信する。シェア b_i を受信した秘密分散装置 1_i は、シェア b_i をシェア記憶部 1 0 へ記憶する。

20

【 0 0 5 1 】

以上で分散処理は完了となる。続いて復元処理を説明する。

【 0 0 5 2 】

ステップ S 1 5 において、復元装置のシェア選択部 1 5 は、利用可能な任意の k 個のシェア $b_{p_0}, \dots, b_{p_{k-1}}$ を取得し、k 次ベクトル $b' = (b_{p_0}, \dots, b_{p_{k-1}})$ を生成する。ただし、 p_0, \dots, p_{k-1} は復元に用いるシェアの番号であり、0 以上 n 未満の整数から選択した k 個の相異なる整数である。ベクトル b' は平文計算部 1 7 へ送られる。 p_0, \dots, p_{k-1} は逆行列生成部 1 6 へ送られる。

【 0 0 5 3 】

30

ステップ S 1 6 において、復元装置の逆行列生成部 1 6 は、行列 A の p_0, \dots, p_{k-1} 行目を抜き出した k 次正方行列を生成し、その逆行列 A'^{-1} を計算する。逆行列 A'^{-1} は平文計算部 1 7 へ送られる。

【 0 0 5 4 】

ステップ S 1 7 において、復元装置の平文計算部 1 7 は、逆行列 A'^{-1} の k 行目とベクトル $b' = (b_{p_0}, \dots, b_{p_{k-1}})$ を乗算して、平文 s を復元する。

【 0 0 5 5 】

Shamir の秘密分散では分散処理における乗算数が $(k-1)n$ である。本形態の秘密分散システムでは分散処理における乗算数が $(k-1)(n-k+1)$ である。したがって、本形態の秘密分散システムによれば秘密分散の計算量を低減することができる。

40

【 0 0 5 6 】

[第二実施形態]

$a, b \in GF(2^{64})$ の乗算は、2 つの 63 次多項式 a, b (式 (14)) を掛けてから 64 次多項式 f で割る操作である (式 (15))。このとき、次の項の係数は式 (16) となる。

【 0 0 5 7 】

【数 1 2】

$$a = \sum_{1 < 64} a_i x^i, b = \sum_{1 < 64} b_i x^i \quad \dots(14)$$

$$\sum_{i < 64} \sum_{j < 64} a_i b_j x^{i+j} \bmod f \quad \dots(15)$$

$$\oplus_{i+j=\lambda} a_i b_j \quad \dots(16)$$

【0 0 5 8】

式(15)において、126次多項式をmod fして63次多項式にする処理をリダクションと呼ぶ。リダクションは、式(17)の同値関係を用いて処理する。

$$f = x^{64} + x^4 + x^3 + x + 1 = 0 \bmod f \quad \dots(17)$$

【0 0 5 9】

式(17)を変形すると、式(18)に示すように64次項を4次式に落とす関係となる。

$$x^{64} = x^4 + x^3 + x + 1 \bmod f \quad \dots(18)$$

【0 0 6 0】

式(19)に示すように、64次以上の項もすべて60次次数を下げられる。

$$x^{64+n} = x^n (x^4 + x^3 + x + 1) \bmod f \quad \dots(19)$$

【0 0 6 1】

126次多項式を、63次多項式gと62次多項式hを用いて、式(20)のように表すことができる。

$$g + x^{64}h = g + (x^4 + x^3 + x + 1)h \bmod f \quad \dots(20)$$

【0 0 6 2】

ある任意の要素aとx+1との乗算(x+1)aは、式(21)で表すことができる。

【0 0 6 3】

【数 1 3】

$$xa + a = xa \oplus a \quad \dots(21)$$

【0 0 6 4】

また、 $x^n a$ はaの各項がn次高い項となるので、整数表現における 2^n 倍、もしくはnビット左シフトと等価である。したがって、式(22)のように表すことができる。

【0 0 6 5】

【数 1 4】

$$(x^4 + x^3 + x + 1)h = (h \ll 4) \oplus (h \ll 3) \oplus (h \ll 1) \oplus h \quad \dots(22)$$

【0 0 6 6】

hは62次多項式であるため、式(22)の

【0 0 6 7】

【数 1 5】

$$(h \ll 4) \oplus (h \ll 3)$$

【0 0 6 8】

は64次以上の多項式となり、再度次数を下げる必要がある。64次以上の部分は式(23)のようになる。

【0 0 6 9】

【数 1 6】

$$\begin{aligned} & x^4 (h_{62} x^{62} + h_{61} x^{61} + h_{60} x^{60}) + x^3 (h_{62} x^{62} + h_{61} x^{61}) \\ &= x^{64} ((h \gg 60) \oplus (h \gg 61)) \quad \dots(23) \end{aligned}$$

【0 0 7 0】

64ビット整数内では64ビットを超えたビットは切り捨てられることを考慮すると、式(24)を計算すればよい。

【0 0 7 1】

10

20

30

40

【数 17】

$$\begin{aligned} & x^{64}(h \oplus (h \gg 60) \oplus (h \gg 61)) \\ &= (x^4 + x^3 + x + 1)(h \oplus (h \gg 60) \oplus (h \gg 61)) \\ &= (x^3 + 1)(x + 1)(h \oplus (h \gg 60) \oplus (h \gg 61)) \quad \dots(24) \end{aligned}$$

【0072】

乗算の際、片方が61ビット以内のとき（より正確には両方のビット数を足して125以下のとき）、式（25）が成り立つため、リダクションを効率化できる。

【0073】

【数 18】

$$(h \gg 60) \oplus (h \gg 61) = 0 \quad \dots(25)$$

【0074】

したがって、リダクションまで含めて考えると、61ビット数で1ビットだけが立っている数、つまり0 i 60の範囲での 2^i との乗算は高速である。

【0075】

この発明の秘密分散ではファンデルモンデ行列を用いてパリティシェアを生成する。ベクトル a を $a=(a_0, \dots, a_{k-1} \in GF(x^q))$ と表すと、パリティシェアは式（26）により計算される。ただし、 $GF(x^q)$ は既約多項式 $f[X]$ により生成され、拡大次数を q とする拡大体である。 x は既約多項式 $f[X]$ の元であり、 $f[X]=X$ である。

【0076】

【数 19】

$$\sum_{0 \leq j < k} a_j x^{ij} \quad \dots(26)$$

【0077】

このとき、体がサイズの大きな拡大体のときには効率化ができる。既約多項式 f のうち、最高次項を除いた多項式を f' とする。多項式 f' の最高次項の次数を d とする。すると、 $(m-1)(k-1) \geq q-d$ を満たすとき、乗算が以下のように通常よりも簡単になる。

【0078】

i が q 未満のとき、 $x^i = X^i$ である。入力 a を式（27）とすると、多項式乗算の結果は、式（28）となる。

【0079】

【数 20】

$$\sum_{j < q} a_j X^j \quad \dots(27)$$

$$aX^i = \left(\sum_{j < q} a_j X^j \right) X^i \quad \dots(28)$$

【0080】

ここで次数が q 次以上となるので、 $f = X^q - f'$ を用いて、 f による剰余をとる。つまり、 aX^i のうち q 次未満の部分を g 、 q 以上の部分を X^q で割った多項式 h とおくと、 $aX^i = g + hf'$ と表される。拡大体乗算では通常、このような次数削減を $g + hf'$ が $q-1$ 次となるまで繰り返す。このとき i が $q-d$ 以下だと、 aX^i の次数はたかだか $q-1+q-d = 2q-d-1$ であり、 h の次数はたかだか $q-d-1$ となる。 f' が d 次多項式なので、 hf' の次数はたかだか $q-1$ となり、次数削減が1回で済む。

【0081】

ステップS14において、以下のように構成することで、より効率的に計算することが可能となる。なお、 $(m-1)(k-1) \geq q-d$ が成り立つものとする。

【0082】

ステップS14において、分散装置のシェア生成部14は、 $i \in \{0, \dots, m-1\}$ について、式（29）により値 c_i を計算する。

【0083】

10

20

30

40

50

【数 2 1】

$$c_i = \sum_{0 \leq j < k-1} r_j x^{ij} + s x^{i(k-1)} \quad \dots(29)$$

【0084】

値 c_i の q 次以上の部分を X^q で割った多項式 h_i と、値 c_i の q 次未満の部分である多項式 g_i とを生成する。この多項式 h_i と多項式 g_i とを用いて、 $g_i - h_i f'$ を計算し、値 c_i を更新する。こうして求めた値 c_0, \dots, c_{m-1} をベクトル b の要素 b_{k-1}, \dots, b_{n-1} とする。

【0085】

第二実施形態の分散方法では、 $(m-1)(k-1) - q-d$ が成り立つため、すべての体乗算においてリダクションが1回で済むようになっている。そのため、リダクションを含めた乗算の処理量が低減する。

10

【0086】

[第三実施形態]

第二実施形態では、 $(m-1)(k-1) - q-d$ が成り立つ必要があった。第三実施形態では、 $(m-1)(k-1) - q-d$ を満たさない場合でも体乗算の処理量を低減するように拡張する。

【0087】

ステップS14において、分散装置のシェア生成部14は、 $j \in \{0, \dots, k-1\}$ について、 $a'_j = a_j$ とする。また、 $d_j = 0$ とする。その後、 $i \in \{0, \dots, m-1\}$ について、式(30)により値 c_i を計算する。

【0088】

20

【数 2 2】

$$c_i = \sum_{0 \leq j < k} a'_j x^{ij-d_j} \quad \dots(30)$$

【0089】

値 c_i の q 次以上の部分を X^q で割った多項式 h_i と、値 c_i の q 次未満の部分である多項式 g_i とを生成する。この多項式 h_i と多項式 g_i とを用いて、 $g_i - h_i f'$ を計算し、値 c_i を更新する。そして、 $i \in \{0, \dots, m-1\}$ 、 $j \in \{0, \dots, k-1\}$ について、 $i = m-1$ 、かつ、 $(i+1)j-d_j > q-d$ であれば、 $a'_j := a'_j x^{-d_j}$ 、 $d_j := d_j + 1$ と更新する。ここで、 d_j は $q-d$ 以下の正の整数である。こうして求めた値 c_0, \dots, c_{m-1} をベクトル b の要素 b_{k-1}, \dots, b_{n-1} とする。

【0090】

30

第三実施形態では、第二実施形態ほどには処理量の削減はできないが、適切な d_j を設定すれば、十分高速化に有効である。

【0091】

誤り訂正符号では入力をそのままシェアとすることができるが、秘密分散では入力をそのままシェアとすることができない。逆に、秘密分散であっても乱数をそのままシェアとしてもよい。この発明のポイントは、これらの点を考慮して、安全性を担保しながら演算を省いたことにある。

【0092】

この発明は上述の実施形態に限定されるものではなく、この発明の趣旨を逸脱しない範囲で適宜変更が可能であることはいうまでもない。上記実施形態において説明した各種の処理は、記載の順に従って時系列に実行されるのみならず、処理を実行する装置の処理能力あるいは必要に応じて並列的あるいは個別に実行されてもよい。

40

【0093】

[プログラム、記録媒体]

上記実施形態で説明した各装置における各種の処理機能をコンピュータによって実現する場合、各装置が有すべき機能の処理内容はプログラムによって記述される。そして、このプログラムをコンピュータで実行することにより、上記各装置における各種の処理機能がコンピュータ上で実現される。

【0094】

この処理内容を記述したプログラムは、コンピュータで読み取り可能な記録媒体に記録

50

しておくことができる。コンピュータで読み取り可能な記録媒体としては、例えば、磁気記録装置、光ディスク、光磁気記録媒体、半導体メモリ等のようなものでもよい。

【0095】

また、このプログラムの流通は、例えば、そのプログラムを記録したDVD、CD-ROM等の可搬型記録媒体を販売、譲渡、貸与等することによって行う。さらに、このプログラムをサーバコンピュータの記憶装置に格納しておき、ネットワークを介して、サーバコンピュータから他のコンピュータにそのプログラムを転送することにより、このプログラムを流通させる構成としてもよい。

【0096】

このようなプログラムを実行するコンピュータは、例えば、まず、可搬型記録媒体に記録されたプログラムもしくはサーバコンピュータから転送されたプログラムを、一旦、自己の記憶装置に格納する。そして、処理の実行時、このコンピュータは、自己の記録媒体に格納されたプログラムを読み取り、読み取ったプログラムに従った処理を実行する。また、このプログラムの別の実行形態として、コンピュータが可搬型記録媒体から直接プログラムを読み取り、そのプログラムに従った処理を実行することとしてもよく、さらに、このコンピュータにサーバコンピュータからプログラムが転送されるたびに、逐次、受け取ったプログラムに従った処理を実行することとしてもよい。また、サーバコンピュータから、このコンピュータへのプログラムの転送は行わず、その実行指示と結果取得のみによって処理機能を実現する、いわゆるASP (Application Service Provider) 型のサービスによって、上述の処理を実行する構成としてもよい。なお、本形態におけるプログラムには、電子計算機による処理の用に供する情報であってプログラムに準ずるもの(コンピュータに対する直接の指令ではないがコンピュータの処理を規定する性質を有するデータ等)を含むものとする。

【0097】

また、この形態では、コンピュータ上で所定のプログラムを実行させることにより、本装置を構成することとしたが、これらの処理内容の少なくとも一部をハードウェア的に実現することとしてもよい。

【符号の説明】

【0098】

- 1 秘密計算装置
- 10 シェア記憶部
- 11 入力部
- 12 乱数生成部
- 13 行列生成部
- 14 シェア生成部
- 15 シェア選択部
- 16 逆行列生成部
- 17 平文計算部

【要約】 (修正有)

【課題】任意の k, n に対応し、計算量を低減する秘密分散方法を提供する。

【解決手段】乱数生成部12が、乱数 $r_0, \dots, r_{k-2} \in GF(x^q)$ を生成する。シェア生成部14が、乱数 r_0, \dots, r_{k-2} と平文 $s \in GF(x^q)$ を要素とするベクトル $a=(r_0, \dots, r_{k-2}, s)$ と行列 A との乗算を計算することでシェア b_0, \dots, b_{n-1} を生成する。シェア選択部15が、シェア b_0, \dots, b_{n-1} から選択した k 個のシェア $b_{p_0}, \dots, b_{p_{k-1}}$ を要素とするベクトル $b'=(b_{p_0}, \dots, b_{p_{k-1}})$ を生成する。逆行列生成部16が、行列 A の p_0, \dots, p_{k-1} 行目からなる k 次正方行列の逆行列 A'^{-1} を生成する。平文計算部17が、逆行列 A'^{-1} の k 行目とベクトル b' を乗算して平文 s を復元する。

【選択図】図2

【 図 1 】

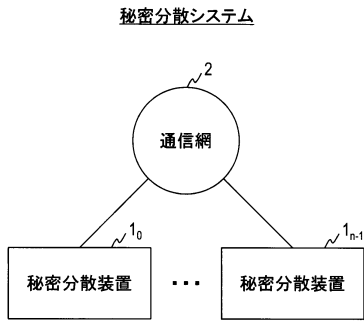


図1

【 図 2 】

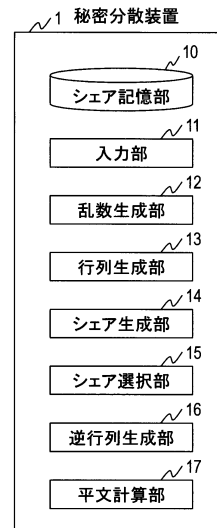


図2

【 図 3 】

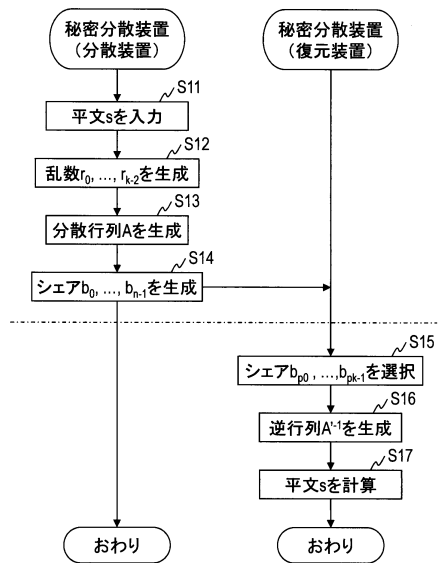


図3

フロントページの続き

(56)参考文献 特許第5918884(JP, B1)

特開2014-21237(JP, A)

袁輪正, 安全性と信頼性を両立した分散ストレージシステムの提案, 電子情報通信学会技術研究報告, 日本, 社団法人電子情報通信学会, 2011年11月11日, Vol. 111, No. 309, pp. 19-24

山崎彰一郎, 他, 組織Reed-Solomon符号を用いた秘密分散法とその応用について, 電子情報通信学会技術研究報告, 日本, 一般社団法人電子情報通信学会, 2014年3月3日, Vol. 113, No. 484, pp. 215-220

川島千種, 他, 多重符号化を利用した階層的な秘密分散法の検討, 電子情報通信学会技術研究報告, 日本, 社団法人電子情報通信学会, 2007年8月31日, Vol. 107, No. 209, pp. 17-23

五十嵐大, 他, SHSS:オブジェクトストレージ向けの超高速秘密分散ライブラリ, 情報処理学会研究報告, 日本, 情報処理学会, 2015年6月25日, Vol. 2015-CSEC-70, No. 26, p. 1-8

(58)調査した分野(Int.Cl., DB名)

G09C 1/00

H04L 9/00 - 9/38